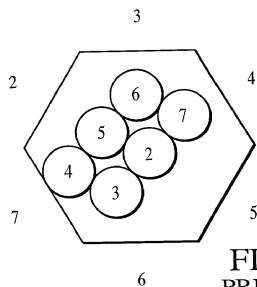
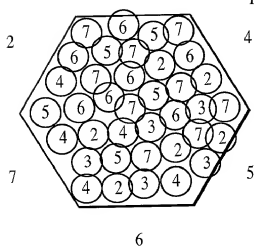
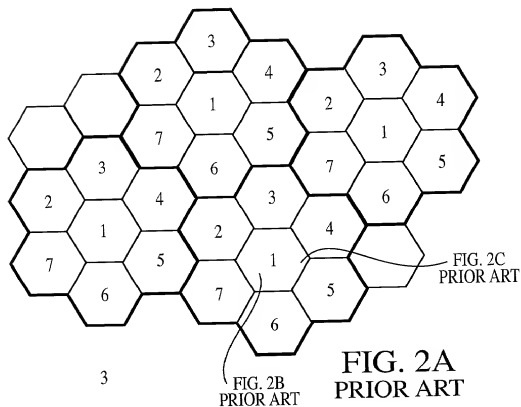
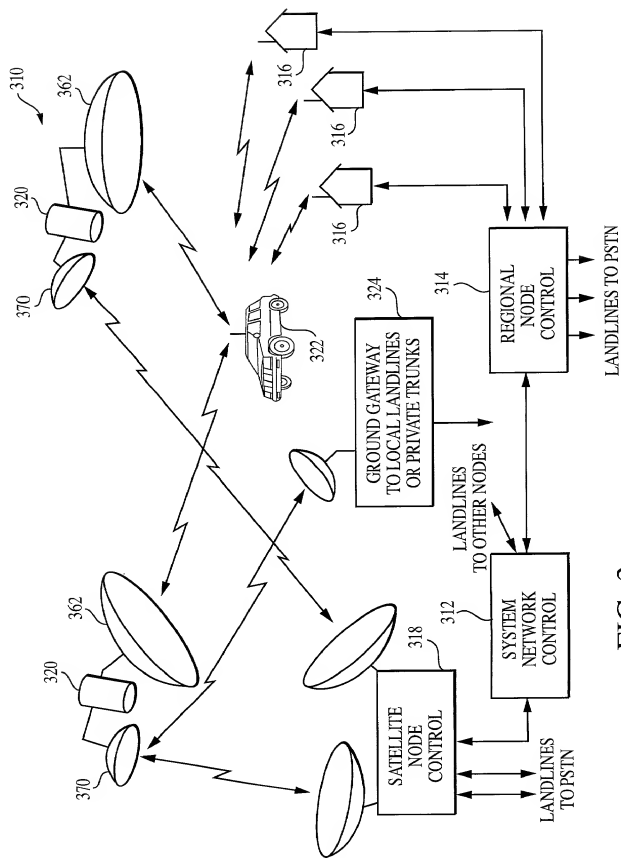
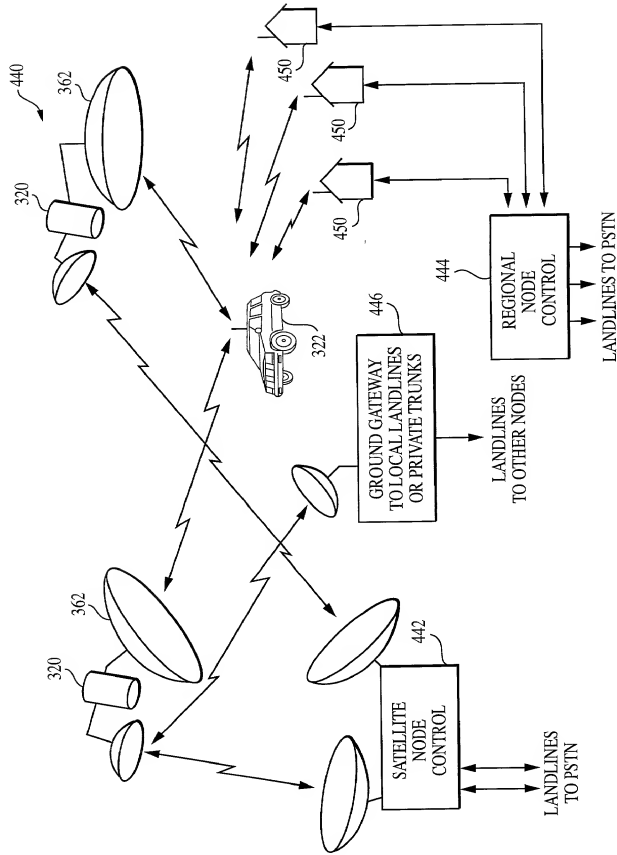


1/26







**FIG. 4**  
PRIOR ART

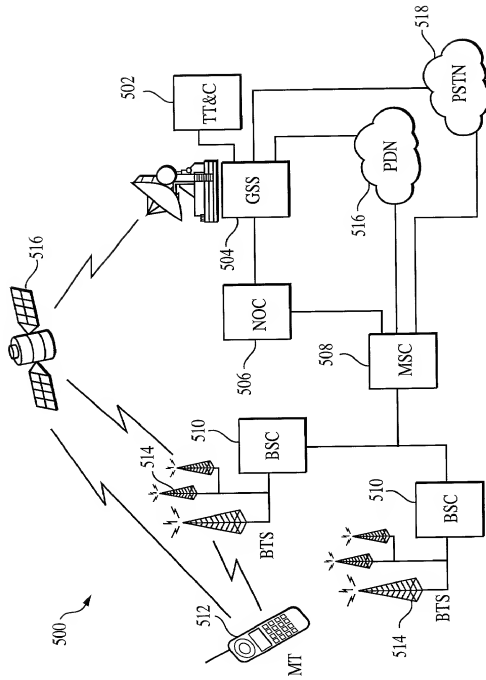


FIG. 5

6/26

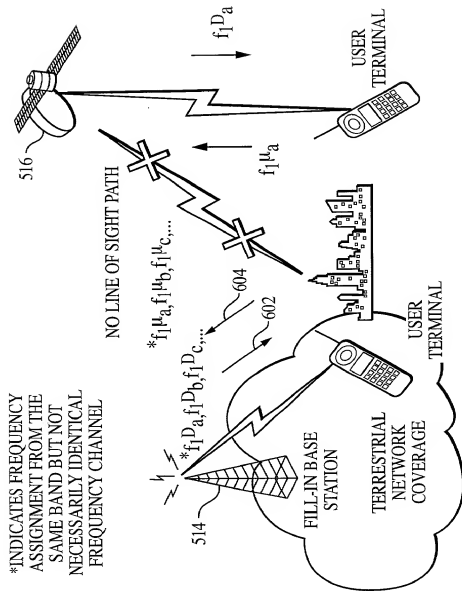


FIG. 6

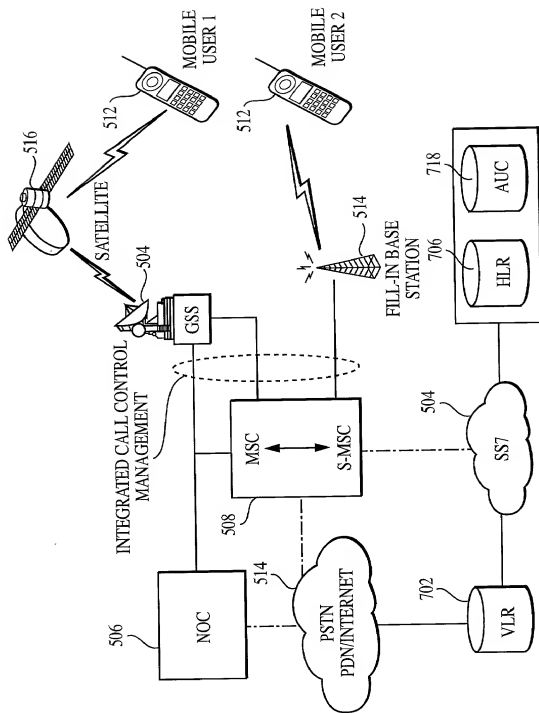


FIG. 7

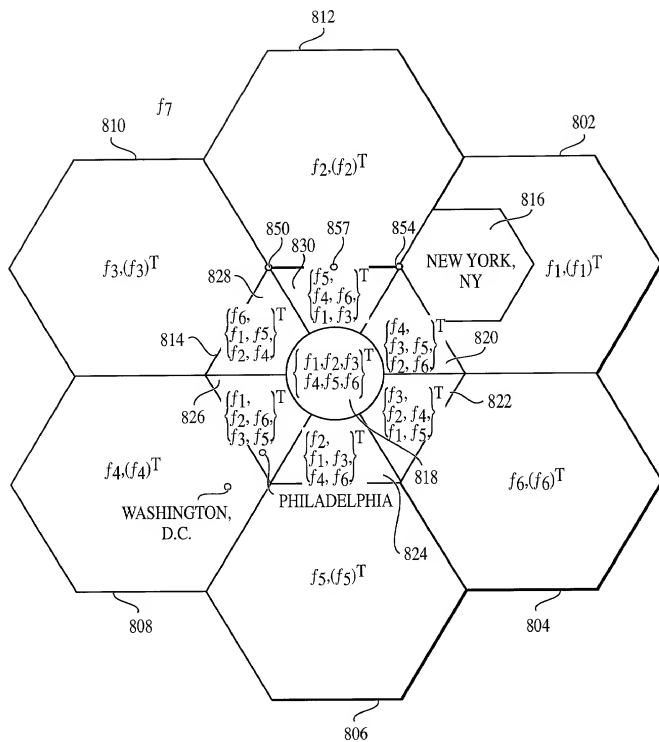


FIG. 8a



9/26

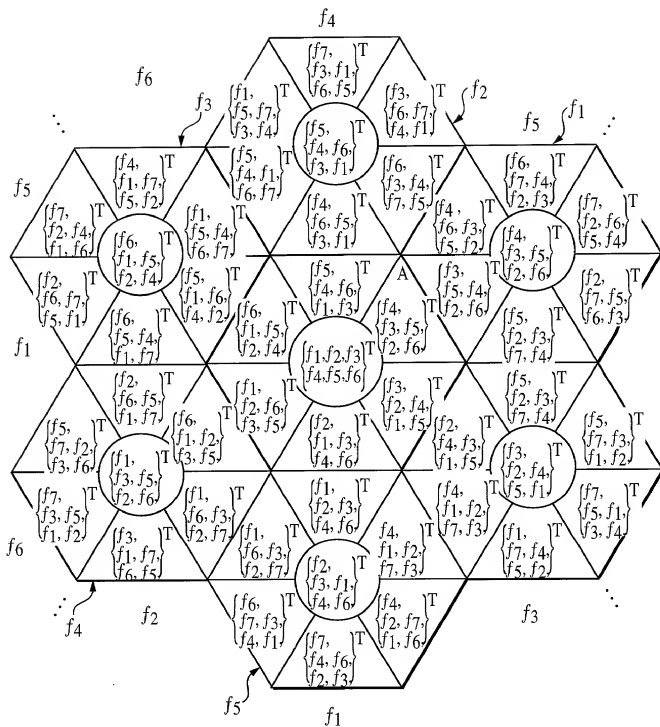


FIG. 8b

10/26

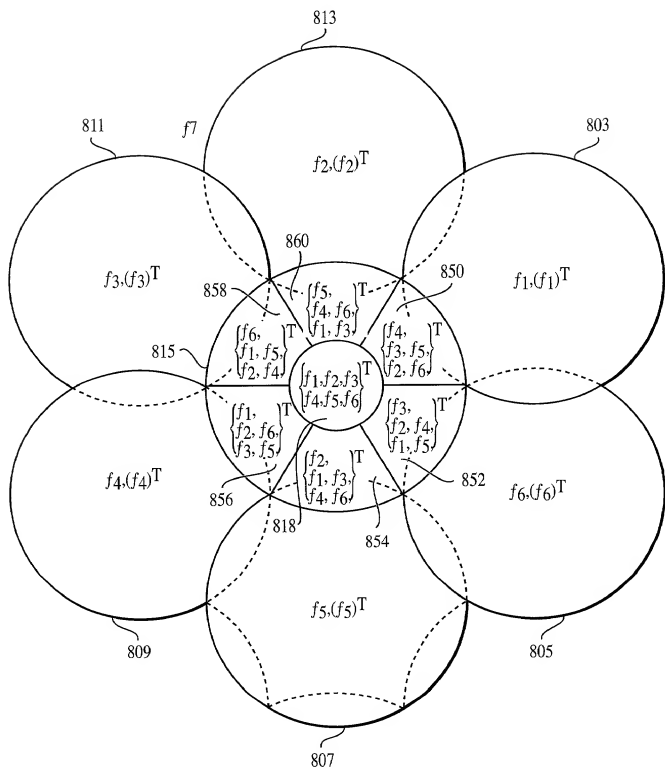


FIG. 8c

11/26

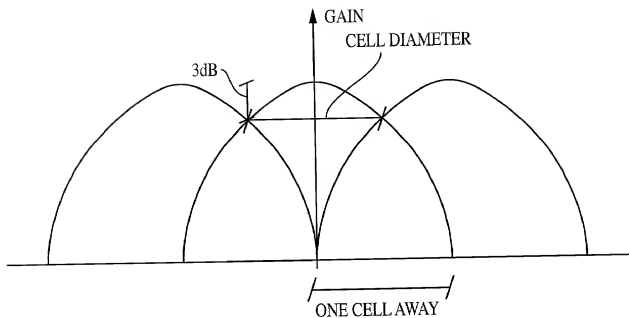


FIG. 9

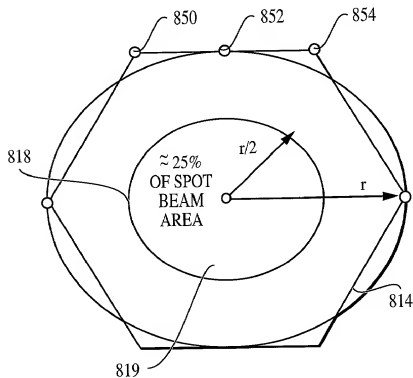


FIG. 10

12/26

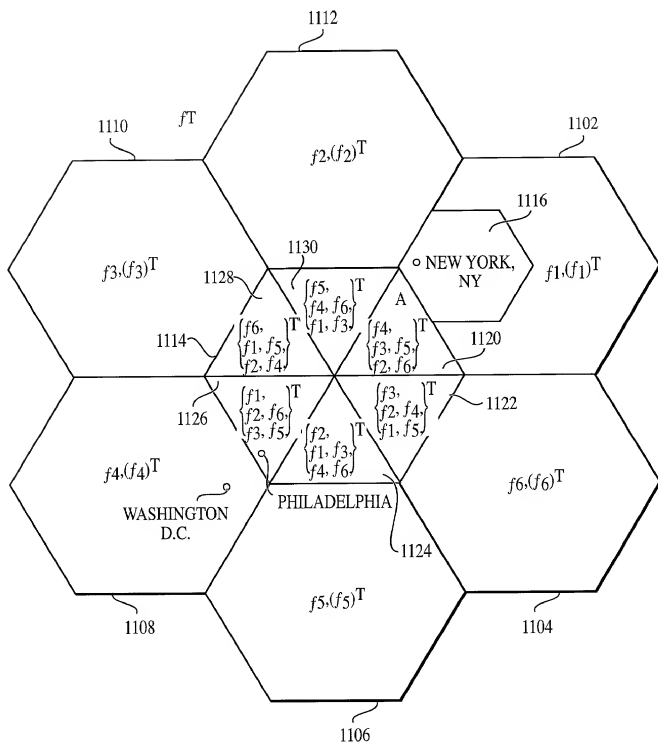


FIG. 11a

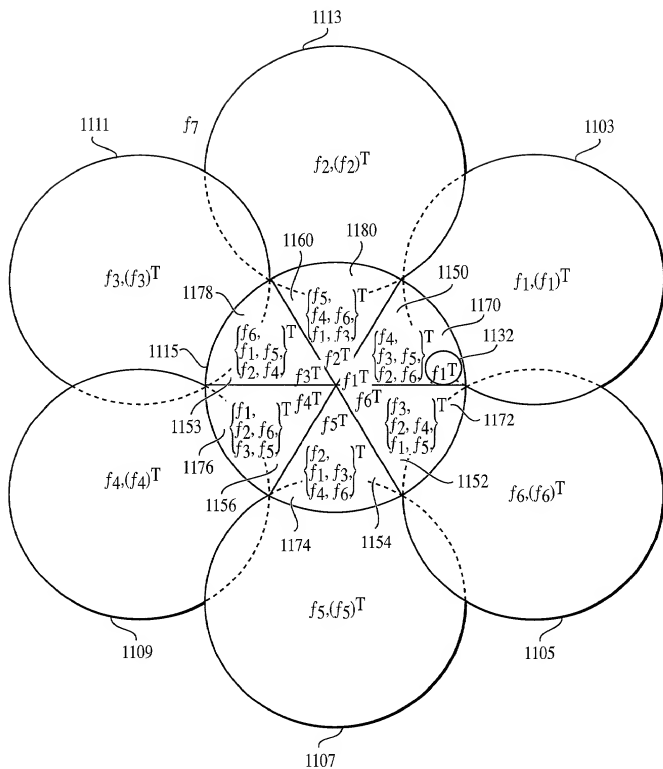


FIG. 11b

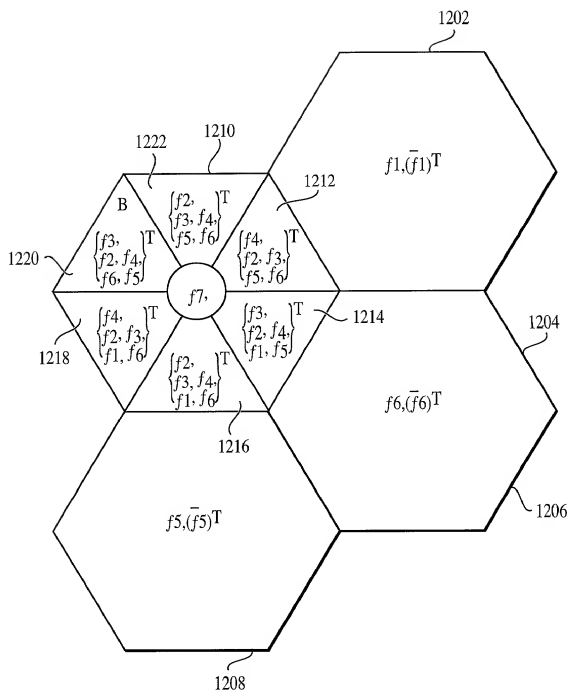


FIG. 12

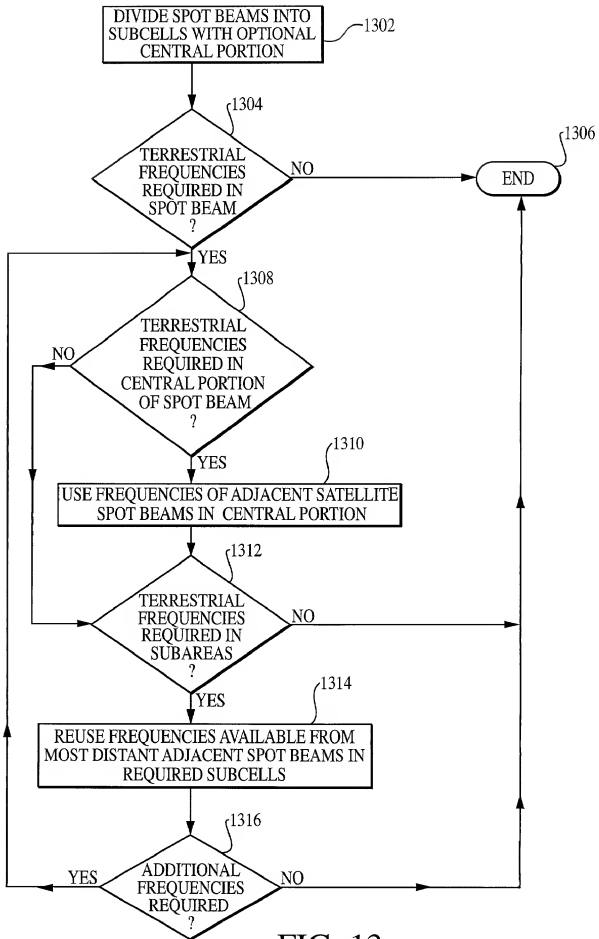


FIG. 13

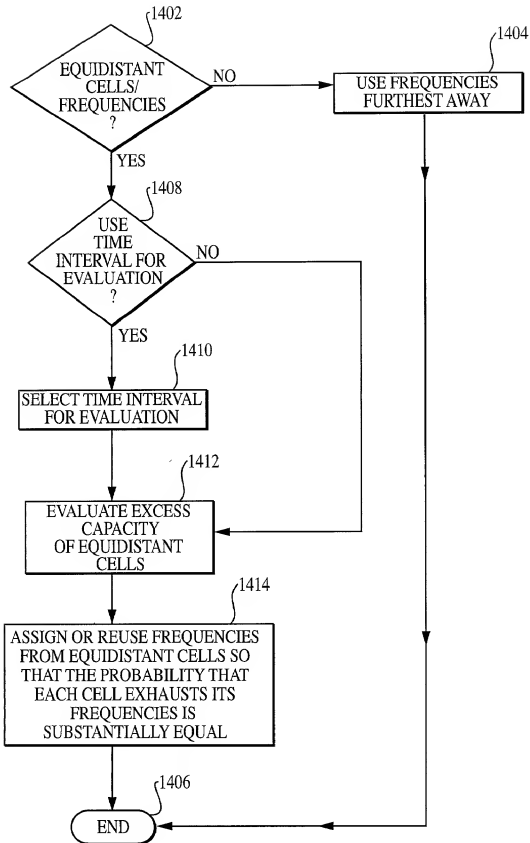


FIG. 14



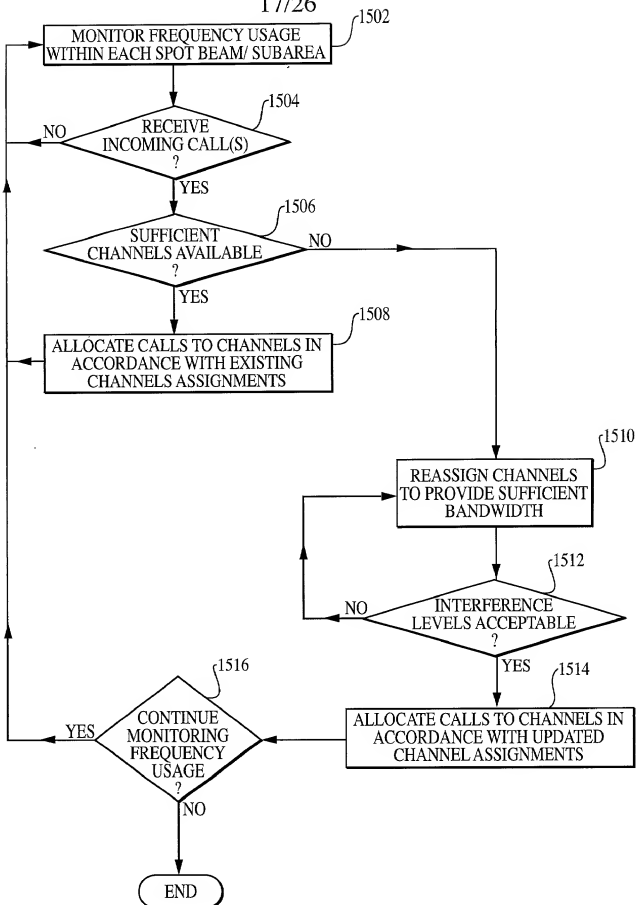


FIG. 15

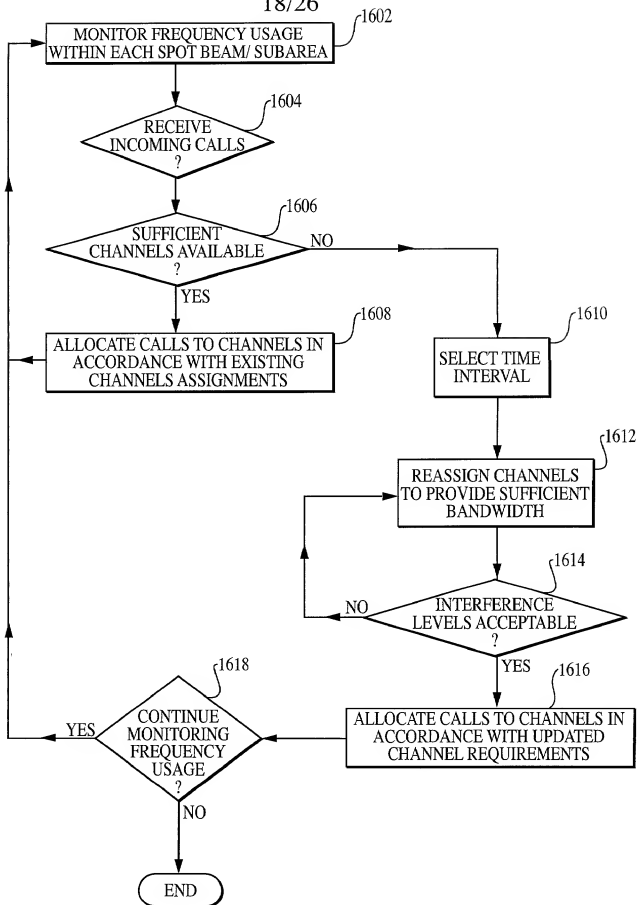


FIG. 16

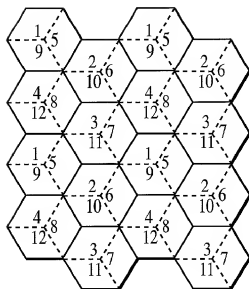


FIG. 17a

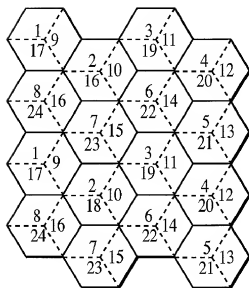
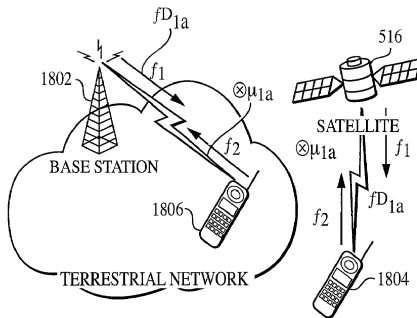
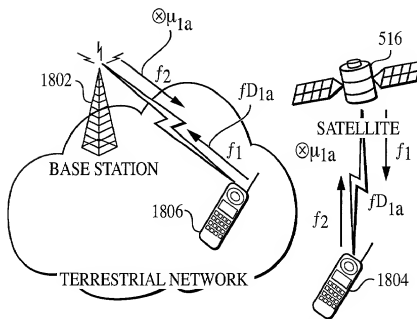


FIG. 17b



NORMAL MODE OPERATION

FIG. 18a



REVERSED MODE OPERATION

FIG. 18b

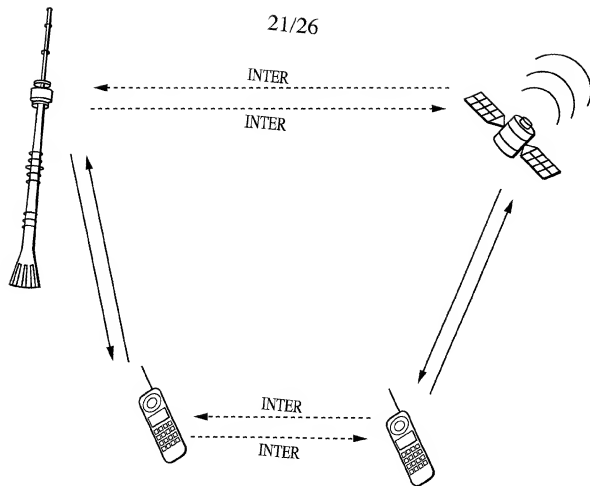


FIG. 19

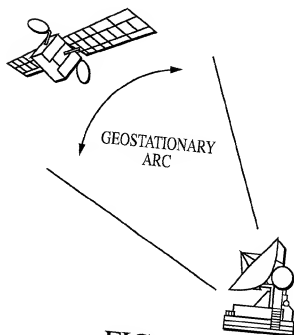


FIG. 20

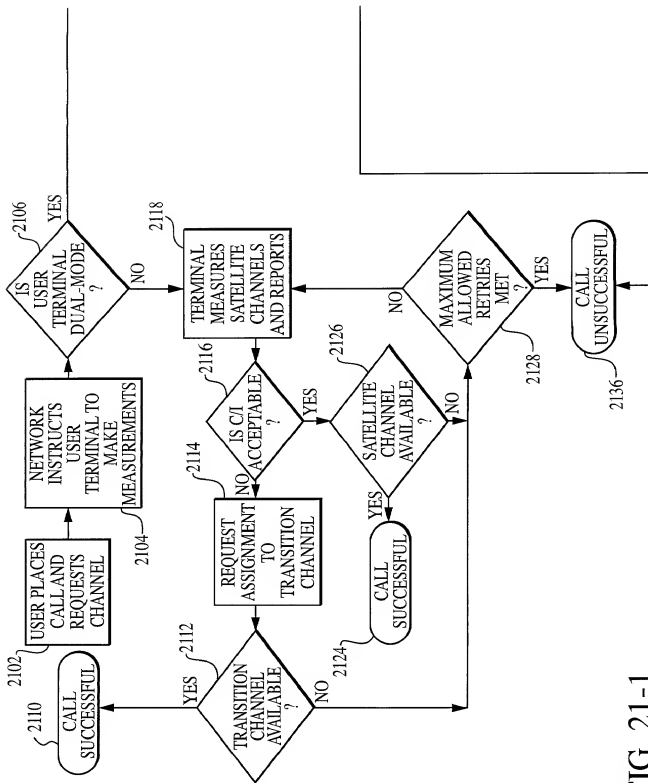


FIG. 21-1  
FIG. 21-2

FIG. 21

FIG. 21-1

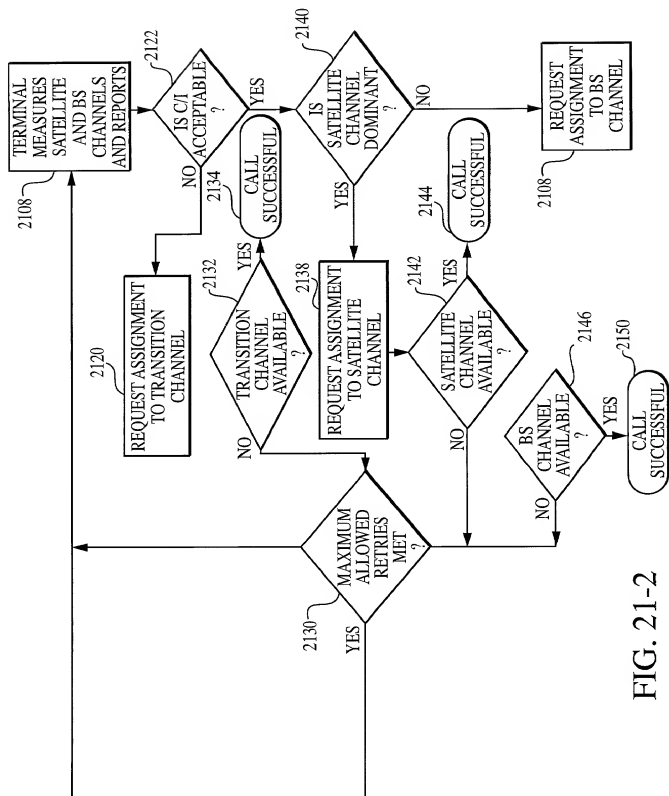


FIG. 21-2

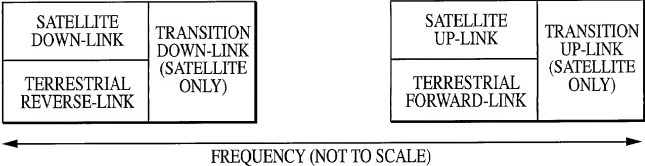
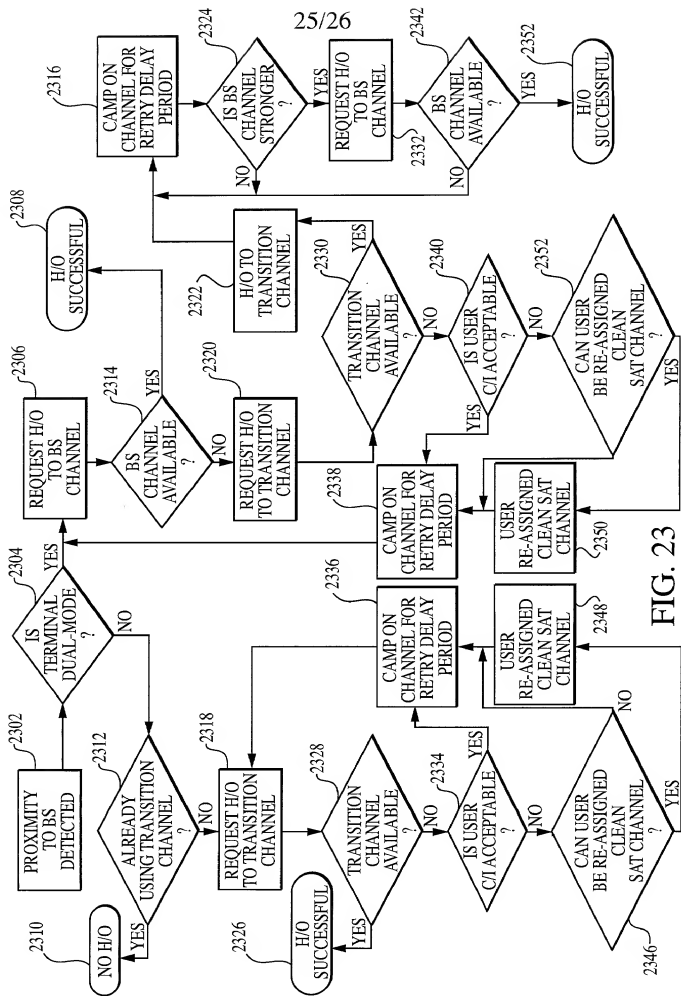


FIG. 22





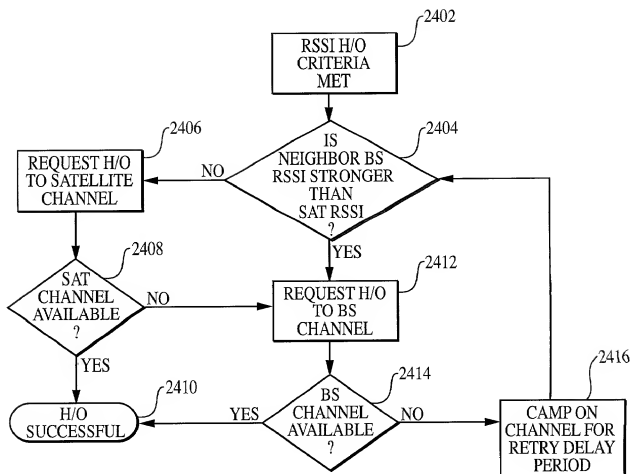


FIG. 24